

教学模块6 基于状态空间模型的极点配置设计方法

# 教学单元4 按极点配置 设计观测器

东北大学 · 关守平

guanshouping@ise.neu.edu.cn



信息科学与工程学院  
COLLEGE OF INFORMATION SCIENCE AND ENGINEERING

问题的提出：不可能直接反馈系统的全部状态（尤其对于高阶系统）。

解决的方法：

找到一种算法，利用输入量及其可量测的输出量来重构系统的全部状态（ $\mathbf{x}(k), \hat{\mathbf{x}}(k)$ ），让  $\mathbf{u}(k) = -L\hat{\mathbf{x}}(k)$  代替  $\mathbf{u}(k) = -L\mathbf{x}(k)$ 。

观测器：根据输出量来重构系统状态的算法。



## 4.1 开环观测器

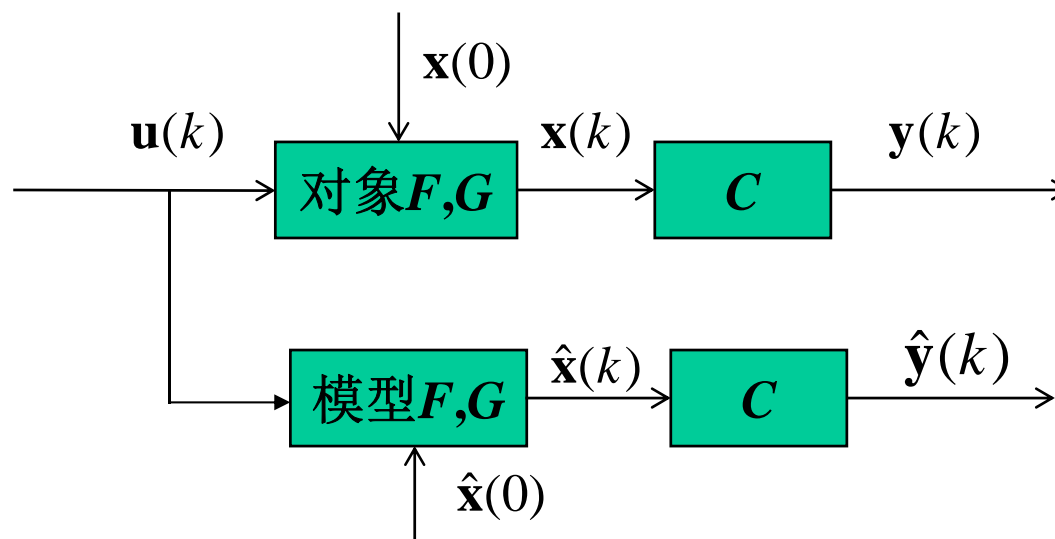


图 1 开环观测器结构

控制对象: 
$$\begin{cases} \mathbf{x}(k+1) = F\mathbf{x}(k) + G\mathbf{u}(k) \\ \mathbf{y}(k) = C\mathbf{x}(k) \end{cases} \quad (1)$$

其中  $\mathbf{x} \in R^n$ ,  $\mathbf{u} \in R^m$ ,  $\mathbf{y} \in R^r$



则开环观测器方程为:

$$\hat{\mathbf{x}}(k+1) = F\hat{\mathbf{x}}(k) + G\mathbf{u}(k) \quad (2)$$

(1) 初始条件相等, 即  $\hat{\mathbf{x}}(0) = \mathbf{x}(0)$ , 则状态重构为:  $\hat{\mathbf{x}}(k) = \mathbf{x}(k)$

控制对象:

$$\mathbf{x}(k+1) = F\mathbf{x}(k) + G\mathbf{u}(k)$$



(2) 初始条件不相等, 即  $\hat{\mathbf{x}}(0) \neq \mathbf{x}(0)$  有状态重构误差为:

$$\tilde{\mathbf{x}}(k) = \mathbf{x}(k) - \hat{\mathbf{x}}(k) \quad (3)$$

式 (1) 中第一式减去式 (2), 得到状态重构误差方程为:

$$\tilde{\mathbf{x}}(k+1) = F\tilde{\mathbf{x}}(k) \quad (4)$$

其特征方程为:  $|zI - F| = 0 \quad (5)$



结论:

$$|zI - F| = 0$$

只要控制对象稳定, 即 $F$  特征值均在单位圆内, 则即使状态初始值不相等, 即  $\tilde{\mathbf{x}}(0) = \mathbf{x}(0) - \hat{\mathbf{x}}(0)$ , 经过一段时间, 仍然有:

$$\tilde{\mathbf{x}}(k) = \mathbf{x}(k) - \hat{\mathbf{x}}(k) \rightarrow 0$$

故  $\hat{\mathbf{x}}(k)$  可以作为  $\mathbf{x}(k)$  的状态重构。



开环观测器特征方程：

$$|zI - F| = 0$$

- 问题：
- (1)  $F$ 具有不稳定的特征根时，不能采用该类型的状态观测器。
  - (2) 动态特性取决于系数矩阵 $F$ ，不能按需要进行调整。

$$\hat{\mathbf{x}}(k) \longrightarrow \mathbf{x}(k)$$

逼近速度可调

原因：只利用了输入量及模型参数，而没有利用可以量测到的输出信息。

解决方法：

充分利用输入量、模型参数和输出量信息，对开环观测器进行重构，得到闭环结构的观测器。



## 4.2 预报观测器

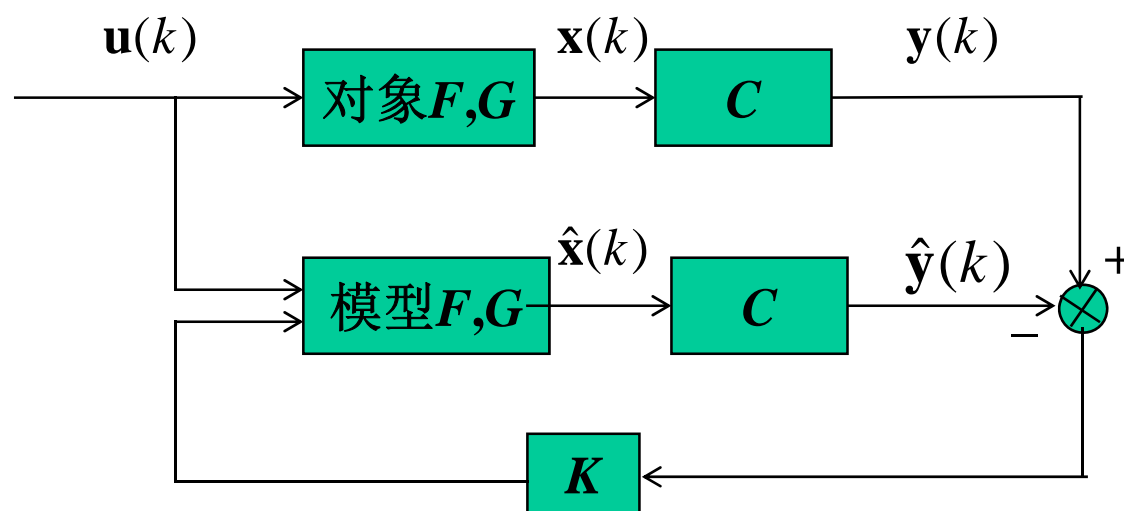


图 2 预报观测器结构





由图2，可以写出预报观测器方程为：

$$\hat{\mathbf{x}}(k+1) = F\hat{\mathbf{x}}(k) + G\mathbf{u}(k) + K[\mathbf{y}(k) - C\hat{\mathbf{x}}(k)] \quad (6)$$

上式中， $k+1$ 时刻的状态重构  $\hat{\mathbf{x}}(k+1)$  只利用到了 $kT$ 时刻的量测量 $\mathbf{y}(k)$ ，因此称为“预报观测器”，其中 $K$ 称为观测器增益矩阵。

问题：预报观测器是否收敛？观测器增益 $K$ 的求解？



于是得到状态重构误差方程为：

$$\begin{aligned}\tilde{\mathbf{x}}(k+1) &= \mathbf{x}(k+1) - \hat{\mathbf{x}}(k+1) \\ &= [F\mathbf{x}(k) + G\mathbf{u}(k)] - \{F\hat{\mathbf{x}}(k) + G\mathbf{u}(k) + K[C\mathbf{x}(k) - C\hat{\mathbf{x}}(k)]\} \\ &= F[\mathbf{x}(k) - \hat{\mathbf{x}}(k)] - KC[\mathbf{x}(k) - \hat{\mathbf{x}}(k)] \\ &= [F - KC]\tilde{\mathbf{x}}(k)\end{aligned}\tag{7}$$

状态重构误差的特征方程（观测器的特征方程）为：

$$|zI - F + KC| = 0\tag{8}$$

其根分布决定观测器性能。



预报观测器特征方程:  $|zI - F + KC| = 0$

开环观测器特征方程:  $|zI - F| = 0$

比较

分析:

- (1) 状态重构误差的动态特性取决于系数矩阵 $F-KC$ , 而 $K$ 可调;
- (2)  $F$ 具有不稳定的特征根时, 可通过适当调整 $K$ 使状态可以重构。



## 求预报观测器的增益矩阵 $K$ :

已知观测器的特征方程为:

$$|zI - F + KC| = 0 \quad (8)$$

给定观测器特征方程的根为  $\beta_i (i=1,2,\dots,n)$  , 则特征方程为:

$$\begin{aligned} \alpha_e(z) &= (z - \beta_1)(z - \beta_2) \cdots (z - \beta_n) \\ &= z^n + \alpha_1 z^{n-1} + \cdots + \alpha_n = 0 \end{aligned} \quad (9)$$

$$\text{于是} \quad |zI - F + KC| = \alpha_e(z) \quad (10)$$



展开行列式，比较两边 $z$ 的同次幂的系数，则一共可以得到 $n$ 个代数方程：

(1) 对于单输入系统 ( $r=1$ )，一般情况下可以获得唯一解；

(2) 对于多输入系统 ( $r>1$ )，共有 $nr$ 个未知数，而总共只有 $n$ 个方程，故需加限制条件。



对于单输入系统可以证明： $K$ 具有唯一解的充分必要条件是系统完全能观，即

$$\text{rank} \begin{bmatrix} C \\ CF \\ \vdots \\ CF^{n-1} \end{bmatrix} = n \quad (11)$$

物理意义：

系统完全能观时，才能通过适当选择增益矩阵 $K$ ，利用输出量来调整各个状态重构跟随实际状态的响应性能。

**问题：**（1）如何给定观测器极点？（后续课程再讲解，比如简单情况下放在原点）

（2）如何计算增益矩阵 $K$ ？



$$|zI - F + KC| = \alpha_e(z) \quad (10)$$

## 问题（2）的解决：

（a）根据（10）式，展开左边行列式，通过比较 $z$ 的同次幂

的系数，求出 $K$ 的各个元素。

（b）通用求解方法：方程（10）左边矩阵转置（转置后行列式不变），故（10）式变为：

$$|zI - F^T + C^T K^T| = \alpha_e(z) \quad (12)$$

将上式与求控制规律 $L$ 式比较，即

$$|zI - F + GL| = \alpha_c(z) \quad (13)$$



$$|zI - F + GL| = \alpha_c(z)$$

$$|zI - F^T + C^T K^T| = \alpha_e(z)$$

$F$	$\longleftrightarrow$	$F^T$
$G$	$\longleftrightarrow$	$C^T$
$L$	$\longleftrightarrow$	$K^T$
$\alpha_c(z)$	$\longleftrightarrow$	$\alpha_e(z)$

表1





由求 $L$ 表达式, 即

$$L = [0 \ 0 \ \dots \ 1] [G \ FG \ \dots \ F^{n-1}G]^{-1} \alpha_c(F) \quad (14)$$

得到:

$$K^T = [0 \ 0 \ \dots \ 1] [C^T \ F^T C^T \ \dots \ (F^T)^{n-1} C^T]^{-1} \alpha_e(F^T) \quad (15)$$



两边转置，得到：

$$K = \alpha_e(F) \begin{bmatrix} C \\ CF \\ \vdots \\ CF^{n-1} \end{bmatrix}^{-1} \begin{bmatrix} 0 \\ \vdots \\ 0 \\ 1 \end{bmatrix} \quad (16)$$

↑  
系统能观

算法完毕。



# 例题讲解

例 4.1: 双积分环节离散化状态空间模型为:

$$\begin{cases} \mathbf{x}(k+1) = F\mathbf{x}(k) + G\mathbf{u}(k) \\ \mathbf{y}(k) = C\mathbf{x}(k) \end{cases}$$

$$\text{其中} \quad F = \begin{bmatrix} 1 & 0.1 \\ 0 & 1 \end{bmatrix} \quad G = \begin{bmatrix} 0.005 \\ 0.1 \end{bmatrix} \quad C = \begin{bmatrix} 1 & 0 \end{bmatrix}$$

设计预报观测器。



解： 预报观测器方程为：

$$\hat{\mathbf{x}}(k+1) = F\hat{\mathbf{x}}(k) + G\mathbf{u}(k) + K[\mathbf{y}(k) - C\hat{\mathbf{x}}(k)]$$

$$\text{令 } K = \begin{bmatrix} k_1 \\ k_2 \end{bmatrix}$$

将观测器的极点配置在原点，则  $\alpha_e(z) = z^2$



### (一) 系数比较法

$$\begin{aligned}\text{于是: } |zI - F + KC| &= \left| z \begin{bmatrix} 1 & 0 \\ 0 & 1 \end{bmatrix} - \begin{bmatrix} 1 & 0.1 \\ 0 & 1 \end{bmatrix} + \begin{bmatrix} k_1 \\ k_2 \end{bmatrix} \begin{bmatrix} 1 & 0 \end{bmatrix} \right| \\ &= \begin{vmatrix} z - 1 + k_1 & -0.1 \\ k_2 & z - 1 \end{vmatrix} \\ &= z^2 + (k_1 - 2)z + (1 - k_1 + 0.1k_2) \\ &= \alpha_e(z) = z^2\end{aligned}$$

通过系数比较, 得到增益矩阵  $K$ :

$$K = \begin{bmatrix} k_1 \\ k_2 \end{bmatrix} = \begin{bmatrix} 2 \\ 10 \end{bmatrix}$$



## (2) 通用求解法

$$K = \begin{bmatrix} k_1 \\ k_2 \end{bmatrix} = \alpha_e(F) \begin{bmatrix} C \\ CF \end{bmatrix}^{-1} \begin{bmatrix} 0 \\ 1 \end{bmatrix} = F^2 \begin{bmatrix} C \\ CF \end{bmatrix}^{-1} \begin{bmatrix} 0 \\ 1 \end{bmatrix} = \begin{bmatrix} 2 \\ 10 \end{bmatrix}$$



## 4.3 现时观测器

由预报观测器方程： $\hat{\mathbf{x}}(k+1) = F\hat{\mathbf{x}}(k) + G\mathbf{u}(k) + K[\mathbf{y}(k) - C\hat{\mathbf{x}}(k)]$ 可知，状态反馈  $\mathbf{u}(k) = -L\hat{\mathbf{x}}(k)$  中，只包含了前一时刻的输出量信息  $\mathbf{y}(k-1)$ ，输出信号将不能得到及时的反馈。当采样周期较长时，将影响系统性能。为此，采用如下观测器结构：

$$\begin{cases} \bar{\mathbf{x}}(k+1) = F\hat{\mathbf{x}}(k) + G\mathbf{u}(k) \end{cases} \quad (17)$$

$$\begin{cases} \hat{\mathbf{x}}(k+1) = \bar{\mathbf{x}}(k+1) + K[\mathbf{y}(k+1) - C\bar{\mathbf{x}}(k+1)] \end{cases} \quad (18)$$

此即为现时观测器方程。

适用范围：计算延时  $\tau$ （观测器计算）与采样周期  $T$  相比很小时，  
采用现时观测器。



## 求取增益矩阵 $K$ :

状态重构误差方程为:

$$\begin{aligned}\tilde{\mathbf{x}}(k+1) &= \mathbf{x}(k+1) - \hat{\mathbf{x}}(k+1) \\ &= F\mathbf{x}(k) + G\mathbf{u}(k) - \left\{ \bar{\mathbf{x}}(k+1) + K \left[ C\mathbf{x}(k+1) - C\bar{\mathbf{x}}(k+1) \right] \right\} \\ &= F\mathbf{x}(k) + G\mathbf{u}(k) - \left\{ F\hat{\mathbf{x}}(k) + G\mathbf{u}(k) \right. \\ &\quad \left. + K \left[ CF\mathbf{x}(k) + CG\mathbf{u}(k) - CF\hat{\mathbf{x}}(k) - CG\mathbf{u}(k) \right] \right\} \\ &= F \left[ \mathbf{x}(k) - \hat{\mathbf{x}}(k) \right] - KCF \left[ \mathbf{x}(k) - \hat{\mathbf{x}}(k) \right] = (F - KCF) \tilde{\mathbf{x}}(k) \quad (19)\end{aligned}$$

特征方程为:  $|zI - F + KCF| = \alpha_e(z) = 0 \quad (20)$

对于单输入系统,  $K$ 具有唯一解的充分必要条件是系统完全能观,  
即(11)式成立。





## $K$ 的求解方法:

### (一) 系数比较法:

将(20)式展开, 通过 $z$ 的同次幂系数比较, 得到 $n$ 个方程组成方程组, 通过解方程组求得增益矩阵 $K$ ;

$$\left| zI - F + KCF \right| = \alpha_e(z) \quad (20)$$



## (二) 通用求解算法

式(10)与式(20)式相比,只是用 $CF$ 代替 $C$ ,故参照式(16),即预报观测器求 $K$ 的阿克曼公式,得到:

$$|zI - F + KC| = \alpha_e(z) \quad (10)$$

$$|zI - F + KCF| = \alpha_e(z) \quad (20)$$

$$K = \alpha_e(F) \begin{bmatrix} CF \\ CF^2 \\ \vdots \\ CF^n \end{bmatrix}^{-1} \begin{bmatrix} 0 \\ \vdots \\ 0 \\ 1 \end{bmatrix} = \alpha_e(F) \underline{F^{-1}} \begin{bmatrix} C \\ CF \\ \vdots \\ CF^{n-1} \end{bmatrix}^{-1} \begin{bmatrix} 0 \\ \vdots \\ 0 \\ 1 \end{bmatrix} \quad (21)$$

需要说明的是:

$F = e^{AT}$  总是非奇异的,即矩阵 $F$ 是可逆的。



## 4.4 降阶观测器

前两种观测器为全阶观测器，即观测器阶数等于状态个数。如果输出量是状态的一部分，则没有必要再对它进行重构，只需根据能量测的部分状态重构不能量测的状态，即降阶观测器。

但是，如果可量测的部分包含有严重的噪声，则可采用全阶观测器重构出全部状态，因为观测器起到了滤波的作用。

$$\text{状态向量为: } \mathbf{x}(k) = \begin{pmatrix} \mathbf{x}_a(k) \\ \mathbf{x}_b(k) \end{pmatrix} \quad (22)$$

其中  $\mathbf{x}_a(k)$  表示能够量测的部分状态，即  $\mathbf{y}(k)$ ； $\mathbf{x}_b(k)$  表示重构的部分状态，则状态方程为：



$$\begin{bmatrix} \mathbf{x}_a(k+1) \\ \mathbf{x}_b(k+1) \end{bmatrix} = \begin{bmatrix} F_{aa} & F_{ab} \\ F_{ba} & F_{bb} \end{bmatrix} \begin{bmatrix} \mathbf{x}_a(k) \\ \mathbf{x}_b(k) \end{bmatrix} + \begin{bmatrix} G_a \\ G_b \end{bmatrix} \mathbf{u}(k) \quad (23)$$

$$\mathbf{y}(k) = \begin{bmatrix} I & O \end{bmatrix} \begin{bmatrix} \mathbf{x}_a(k) \\ \mathbf{x}_b(k) \end{bmatrix} \quad (24)$$

由式 (23) , 得到:

$$\mathbf{x}_a(k+1) = F_{aa}\mathbf{x}_a(k) + F_{ab}\mathbf{x}_b(k) + G_a\mathbf{u}(k) \quad (25)$$

$$\mathbf{x}_b(k+1) = F_{ba}\mathbf{x}_a(k) + F_{bb}\mathbf{x}_b(k) + G_b\mathbf{u}(k) \quad (26)$$



整理，得到：

$$\mathbf{x}_b(k+1) = F_{bb}\mathbf{x}_b(k) + F_{ba}\mathbf{x}_a(k) + G_b\mathbf{u}(k) \quad (27)$$

$$\mathbf{x}_a(k+1) - F_{aa}\mathbf{x}_a(k) - G_a\mathbf{u}(k) = F_{ab}\mathbf{x}_b(k) \quad (28)$$

一般系统状态空间表达式为：

$$\begin{cases} \mathbf{x}(k+1) = F\mathbf{x}(k) + G\mathbf{u}(k) \\ \mathbf{y}(k) = C\mathbf{x}(k) \end{cases} \quad (29)$$

式 (27) (28) 与 (29) 相比较，其对应关系为：



式 (29)

$$\begin{cases} \mathbf{x}(k+1) = F\mathbf{x}(k) + G\mathbf{u}(k) \\ \mathbf{y}(k) = C\mathbf{x}(k) \end{cases}$$

式 (27) 与 (28)

$$\begin{aligned} \mathbf{x}_b(k+1) &= F_{bb}\mathbf{x}_b(k) + F_{ba}\mathbf{x}_a(k) + G_b\mathbf{u}(k) \\ \mathbf{x}_a(k+1) - F_{aa}\mathbf{x}_a(k) - G_a\mathbf{u}(k) &= F_{ab}\mathbf{x}_b(k) \end{aligned}$$

$\mathbf{x}(k)$	$\longleftrightarrow$	$\mathbf{x}_b(k)$
$F$	$\longleftrightarrow$	$F_{bb}$
$G\mathbf{u}(k)$	$\longleftrightarrow$	$F_{ba}\mathbf{x}_a(k) + G_b\mathbf{u}(k)$
$\mathbf{y}(k)$	$\longleftrightarrow$	$\mathbf{x}_a(k+1) - F_{aa}\mathbf{x}_a(k) - G_a\mathbf{u}(k)$
$C$	$\longleftrightarrow$	$F_{ab}$

表2



根据预报观测器状态方程，即

$$\hat{\mathbf{x}}(k+1) = F\hat{\mathbf{x}}(k) + G\mathbf{u}(k) + K[\mathbf{y}(k) - C\hat{\mathbf{x}}(k)] \quad (30)$$

利用前面的对应关系，得到降阶观测器状态方程：

$$\begin{aligned} \hat{\mathbf{x}}_b(k+1) = & F_{bb}\hat{\mathbf{x}}_b(k) + F_{ba}\mathbf{x}_a(k) + G_b\mathbf{u}(k) \\ & + K[\mathbf{x}_a(k+1) - F_{aa}\mathbf{x}_a(k) - G_a\mathbf{u}(k) - F_{ab}\hat{\mathbf{x}}_b(k)] \end{aligned} \quad (31)$$

上式实质上为降阶的**现时观测器方程**，因为 $k+1$ 时刻的状态重构 $\hat{\mathbf{x}}_b(k+1)$ 用到了 $k+1$ 时刻的量测量 $\mathbf{x}_a(k+1)$ 。



## 求增益矩阵 $K$ :

状态重构误差方程为:

$$\begin{aligned}\tilde{\mathbf{x}}_b(k+1) &= \mathbf{x}_b(k+1) - \hat{\mathbf{x}}_b(k+1) \\ &= F_{bb}\mathbf{x}(k) + F_{ba}\mathbf{x}_a(k) + G_b\mathbf{u}(k) - \{F_{bb}\hat{\mathbf{x}}_b(k) + F_{ba}\mathbf{x}_a(k) \\ &\quad + G_b\mathbf{u}(k) + K[\mathbf{x}_a(k+1) - F_{aa}\mathbf{x}_a(k) - G_a\mathbf{u}(k) - F_{ab}\hat{\mathbf{x}}_b(k)]\} \\ &= F_{bb}[\mathbf{x}_b(k) - \hat{\mathbf{x}}_b(k)] - K[F_{ab}\mathbf{x}_b(k) - F_{ab}\hat{\mathbf{x}}_b(k)] \\ &= [F_{bb} - KF_{ab}]\tilde{\mathbf{x}}_b(k)\end{aligned}\tag{32}$$

其特征方程为:

$$|zI - F_{bb} + KF_{ab}| = \alpha_e(z) = 0\tag{33}$$





对比式 (10) 与 (33) 式, 并参照 (16) 式, 即预报观测器求  $K$  的阿克曼公式, 得到:

$$|zI - F + KC| = \alpha_e(z) \quad (10)$$

$$|zI - F_{bb} + KF_{ab}| = \alpha_e(z) \quad (33)$$

$$K = \alpha_e(F_{bb}) \begin{bmatrix} F_{ab} \\ F_{ab} F_{bb} \\ \vdots \\ F_{ab} F_{bb}^{n_1-1} \end{bmatrix}^{-1} \begin{bmatrix} 0 \\ \vdots \\ 0 \\ 1 \end{bmatrix} \quad (34)$$

其中,  $n_1$  为  $\mathbf{x}_b(k)$  的维数, 对于单输入系统, 有  $n_1 = n - 1$ 。



# ·教学单元四结束·



信息科学与工程学院  
COLLEGE OF INFORMATION SCIENCE AND ENGINEERING